УДК 621.983

## И. О. Сивак, д. т. н., проф.; С. И. Сухоруков, к. т. н., доц.; Е. И. Шевчук

## НАПРЯЖЕННОЕ СОСТОЯНИЕ В ОЧАГЕ ДЕФОРМАЦИИ ЛИСТОВОЙ ЗАГОТОВКИ ПРИ РОТАЦИОННОЙ ВЫТЯЖКЕ ОСЕСИММЕТРИЧНЫХ ДЕТАЛЕЙ

Проведены исследования напряженного состояния в очаге деформации при ротационной вытяжке осесимметричных деталей из листовой заготовки. Установлены закономерности распределения показателей напряженного состояния в очаге деформации и определена величина использованного ресурса пластичности в зависимости от геометрических характеристик ролика, толщины листовой заготовки и механических характеристик материала заготовки.

**Ключевые слова:** ротационная вытяжка, напряжение, очаг деформации, показатели напряженного состояния, коническая деталь.

В различных отраслях машиностроения нашли широкое применение осесимметрические тонкостенные изделия, к качеству и эксплуатационным свойствам которых предъявляют высокие требования. Для изготовления таких изделий широко применяют методы ротационной вытяжки. На сегодняшний день целый ряд работ посвящен экспериментальным исследованиям процесса ротационной вытяжки [1-3], но при этом практически отсутствуют методы оценки схемы напряженного состояния и величины использованного ресурса пластичности в очаге деформации и их влияния на качество готовых изделий.

Необходимо отметить, что особенность процесса ротационной вытяжки осесимметрических деталей из листовых заготовок заключается в том, что пластическая деформация протекает в локальном объеме контакта инструмента и заготовки. Схема напряженного состояния в этом объеме зависит от формы и размеров заготовки и инструмента, взаимного их размещения и режимов обработки.

Цель данной работы заключается в определении закономерностей распределения показателей напряженного состояния и величины использованного ресурса пластичности в очаге деформации в зависимости от параметров процесса ротационной вытяжки.

В работе рассмотрен процесс ротационной вытяжки тонкой оболочки из листовой заготовки. При этом очаг деформации разбит на три участка (рис. 1). Участок 1 находится в условиях объемного напряженного состояния, а на участке 2 имеет место плоская деформация. В зону 3 отнесен фланец, который находится в условиях плоского напряженного состояния. В работе [4, 5] определено напряженное состояние для участка 2 в полярной системе координат  $\rho$ ,  $\alpha$  с началом координат в центре кривизны рабочей поверхности ролика (рис. 2). В выделенном элементе заготовки, ограниченном радиусами  $\rho_1$ ,  $\rho_2$ , и углами  $\alpha=0$ ,  $\alpha=\alpha_m$ , действуют радиальные напряжения  $\sigma_\rho$ , тангенциальные напряжения  $\sigma_\alpha$  и касательные напряжения  $\tau_{\rho\alpha}$ . Разница радиусов  $\rho_2$  и  $\rho_1$  равна толщине листовой заготовки  $\delta$ .

Уравнения равновесия для плоской задачи в полярных координатах имеют вид [4, 5]:

$$\frac{\partial \sigma_{\rho}}{\partial \rho} + \frac{1}{\rho} \cdot \frac{\partial \tau_{\rho\alpha}}{\partial \alpha} + \frac{\sigma_{\rho} - \sigma_{\alpha}}{\rho} = 0;$$

$$\frac{\partial \sigma_{\alpha}}{\partial \alpha} + \rho \cdot \frac{\partial \tau_{\rho\alpha}}{\partial \rho} + 2\tau_{\rho\alpha} = 0.$$
(1)

Условие пластичности в данной задаче принимает вид:

$$\sigma_{\alpha} - \sigma_{\rho} = 2\tau_{s}. \tag{2}$$

После дифференцирования первого уравнения системы (1) по  $\alpha$  с учетом условия пластичности (2) и после дифференцирования второго уравнения системы (1) по  $\rho$  и вычитания из полученного второго уравнения первого получено уравнение для определения касательных напряжений [4, 5]

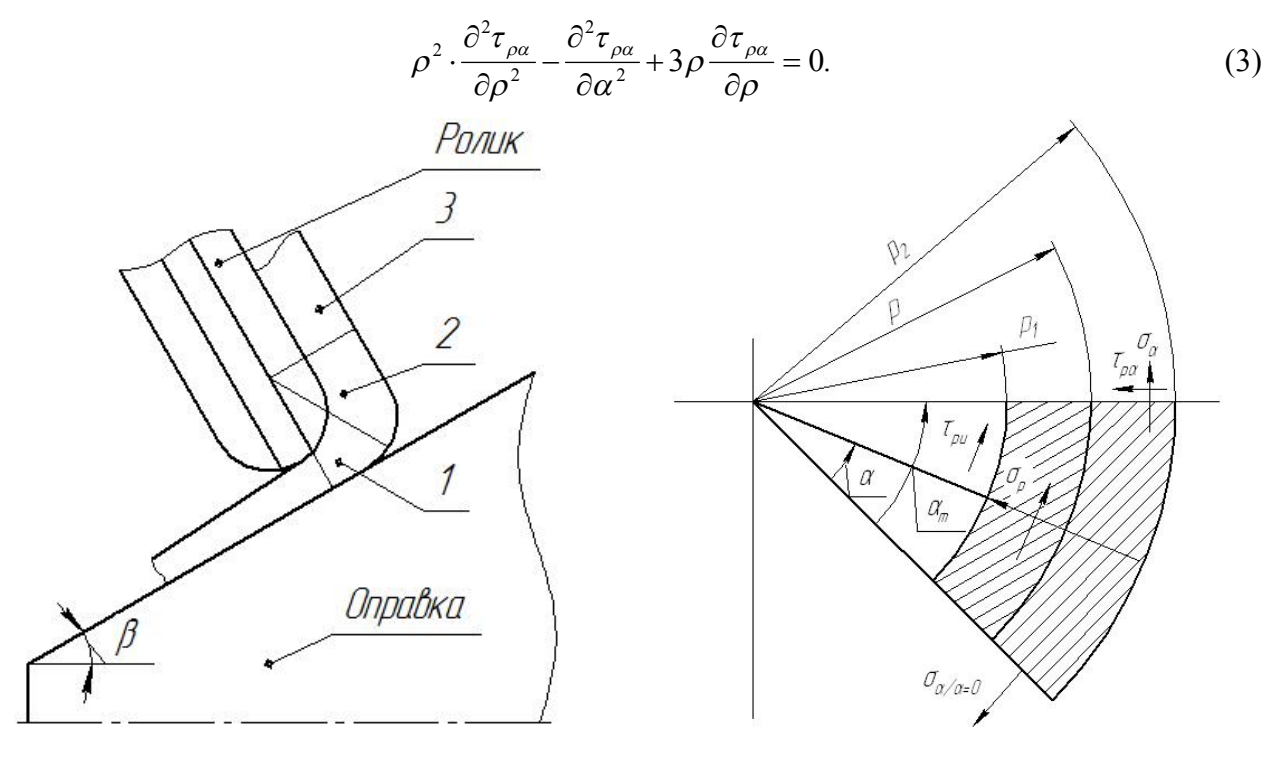


Рис. 1. Схема деления ячейки деформации на участки

Рис. 2. Схема напряженного состояния на участке 2 при ротационной вытяжке

Решение уравнения (3) получено при следующих граничных условиях. В зоне контакта заготовки и ролика при  $\rho=\rho_1$  касательные напряжения равны:  $\tau_{\rho\alpha}=-m\tau_s$ , где m — фактор трения Прандля. На свободной поверхности заготовки при  $\rho=\rho_2$  касательные напряжения  $\tau_{\rho\alpha}=0$ . При  $\alpha=0$  касательные напряжения  $\tau_{\rho\alpha}=0$ , так как данная площадка является главной, а при  $\alpha=\alpha_m$  касательные напряжения принимают максимальное значение  $\tau_{\rho\alpha}=-\tau_s$ . После решения уравнения (3) при принятых граничных условиях в работе [5] для касательного напряжения  $\tau$ 0 получено следующее выражение

$$\tau_{\rho\alpha} = -\tau_{s}\sqrt{1-c}\frac{\alpha}{\alpha_{m}} + \frac{\tau_{s}\sqrt{1-c}\cdot\sin\left(\frac{\pi\alpha}{\alpha_{m}}\right)}{\rho\cdot\sin\left(\omega\ln\frac{\rho_{2}}{\rho_{1}}\right)}\cdot\left[\rho_{1}\left(m-\frac{\alpha}{\alpha_{m}}\right)\cdot\sin\left(\omega\cdot\ln\frac{\rho}{\rho_{2}}\right) + \rho_{2}\cdot\frac{\alpha}{\alpha_{m}}\cdot\sin\left(\omega\ln\frac{\rho}{\rho_{1}}\right)\right].$$
(4)

Для определения  $\sigma_{\rho}$  задача (1) решена в [4, 5] с использованием метода разделения переменных при однородных граничных условиях:

$$\sigma_{\rho} = \frac{\tau_{s} \cdot \sqrt{1 - c}}{\alpha_{m}} \cdot \left[ ln \frac{\rho}{\rho_{2}} + \left( \frac{\rho_{1}}{\rho(1 + \omega^{2})} \cdot \frac{sin\left(\omega ln \frac{\rho}{\rho_{2}}\right) + \omega \cdot cos\left(\omega ln \frac{\rho}{\rho_{2}}\right)}{sin\left(\omega ln \frac{\rho_{2}}{\rho_{1}}\right)} - \frac{\rho_{1} \cdot \omega}{\rho_{2}(1 + \omega^{2}) \cdot sin\left(\omega ln \frac{\rho_{2}}{\rho_{1}}\right)} \right] \times \frac{sin\left(\omega ln \frac{\rho_{2}}{\rho_{2}}\right) + \omega \cdot cos\left(\omega ln \frac{\rho_{2}}{\rho_{2}}\right)}{sin\left(\omega ln \frac{\rho_{2}}{\rho_{1}}\right)} + \frac{\rho_{1} \cdot \omega}{\rho_{2}(1 + \omega^{2}) \cdot sin\left(\omega ln \frac{\rho_{2}}{\rho_{1}}\right)} + \frac{\rho_{1} \cdot \omega}{\rho_{2}(1 + \omega^{2}) \cdot sin\left(\omega ln \frac{\rho_{2}}{\rho_{1}}\right)} + \frac{\rho_{1} \cdot \omega}{\rho_{2}(1 + \omega^{2}) \cdot sin\left(\omega ln \frac{\rho_{2}}{\rho_{1}}\right)} + \frac{\rho_{1} \cdot \omega}{\rho_{2}(1 + \omega^{2}) \cdot sin\left(\omega ln \frac{\rho_{2}}{\rho_{1}}\right)} + \frac{\rho_{1} \cdot \omega}{\rho_{2}(1 + \omega^{2}) \cdot sin\left(\omega ln \frac{\rho_{2}}{\rho_{1}}\right)} + \frac{\rho_{1} \cdot \omega}{\rho_{2}(1 + \omega^{2}) \cdot sin\left(\omega ln \frac{\rho_{2}}{\rho_{1}}\right)} + \frac{\rho_{1} \cdot \omega}{\rho_{2}(1 + \omega^{2}) \cdot sin\left(\omega ln \frac{\rho_{2}}{\rho_{1}}\right)} + \frac{\rho_{2}(1 + \omega^{2}) \cdot sin\left(\omega ln \frac{\rho_{2}}{\rho_{1}}\right)}{\rho_{2}(1 + \omega^{2}) \cdot sin\left(\omega ln \frac{\rho_{2}}{\rho_{1}}\right)} + \frac{\rho_{2}(1 + \omega^{2}) \cdot sin\left(\omega ln \frac{\rho_{2}}{\rho_{1}}\right)}{\rho_{2}(1 + \omega^{2}) \cdot sin\left(\omega ln \frac{\rho_{2}}{\rho_{1}}\right)} + \frac{\rho_{2}(1 + \omega^{2}) \cdot sin\left(\omega ln \frac{\rho_{2}}{\rho_{1}}\right)}{\rho_{2}(1 + \omega^{2}) \cdot sin\left(\omega ln \frac{\rho_{2}}{\rho_{1}}\right)}$$

$$\times \left[ \pi \cdot cos \left( \frac{\pi \alpha}{\alpha_{m}} \right) \left( m - \frac{\alpha}{\alpha_{m}} \right) - sin \left( \frac{\pi \alpha}{\alpha_{m}} \right) \right] + \\
+ \left[ \frac{\rho_{2} \left( sin \left( \omega \ln \frac{\rho}{\rho_{1}} \right) + \omega \cdot cos \left( \omega \ln \frac{\rho}{\rho_{1}} \right) \right)}{\rho \left( 1 + \omega^{2} \right) \cdot sin \left( \omega \ln \frac{\rho_{2}}{\rho_{1}} \right)} - \frac{sin \left( \omega \ln \frac{\rho_{2}}{\rho_{1}} \right) + \omega \cdot cos \left( \omega \ln \frac{\rho_{2}}{\rho_{1}} \right)}{\left( 1 + \omega^{2} \right) \cdot sin \left( \omega \ln \frac{\rho_{2}}{\rho_{1}} \right)} \right] \times \\
\times \left\{ \frac{\pi \alpha}{\alpha_{m}} \cdot cos \left( \frac{\pi \alpha}{\alpha_{m}} \right) + sin \left( \frac{\pi \alpha}{\alpha_{m}} \right) \right\} \right] + 2\tau_{s} \cdot \sqrt{1 - c} \ln \frac{\rho}{\rho_{2}}. \tag{5}$$

Нормальное напряжение  $\sigma_a$  определяли с уравнения (2).

В данной работе полученные значения  $\sigma_{\alpha}$ ,  $\sigma_{\rho}$ ,  $\tau_{\rho\alpha}$  использованы для анализа схемы напряженного состояния в зоне 2 очага деформации и оценки предельно допустимого формоизменения. При этом показатель напряженного состояния  $\eta$  рассчитывали по формуле [6, 7]

$$\eta = \frac{3\sigma}{\sigma_{u}},\tag{6}$$

где  $\sigma = \frac{1}{3}\sigma_{i,j} \cdot \delta_{i,j}$  – среднее напряжение,  $\sigma_u$  – интенсивность напряжений.

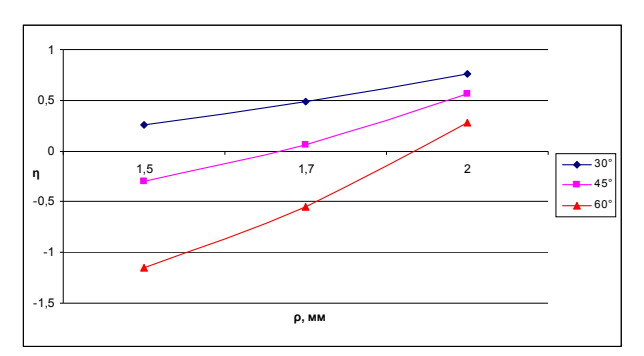
Параметр Надаи-Лоде равен:

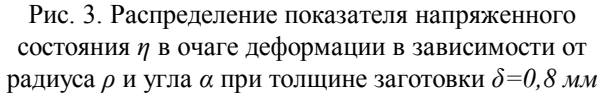
$$\mu_{\sigma} = \frac{2\sigma_2 - \sigma_1 - \sigma_3}{\sigma_1 - \sigma_3}.\tag{7}$$

Главные напряжения  $\sigma_1$ ,  $\sigma_2$ ,  $\sigma_3$  рассчитывали по формуле [6]:

$$\sigma_{\frac{max}{min}} = \frac{\sigma_{\alpha} + \sigma_{\rho}}{2} \pm \sqrt{(\sigma_{\alpha} + \sigma_{\rho})^2 + 4\tau_{\rho\alpha}^2}.$$
 (8)

В работе получены закономерности распределения показателя напряженного состояния  $\eta$  и параметр Надаи-Лоде  $\mu_{\sigma}$  в очаге деформации в зависимости от радиуса  $\rho$  и угла  $\alpha$  для листовых заготовок толщиной  $\delta$ =0,8 мм,  $\delta$ =1,0 мм и  $\delta$ =1,2 мм из алюминия АД1 и стали 10. Расчеты выполнены для радиусов рабочей поверхности ролика  $R_{po\pi}$ =1,5 мм и  $R_{po\pi}$ =4,0 мм. Угол оправки  $\beta$  приняли равным  $\beta$ =45°.





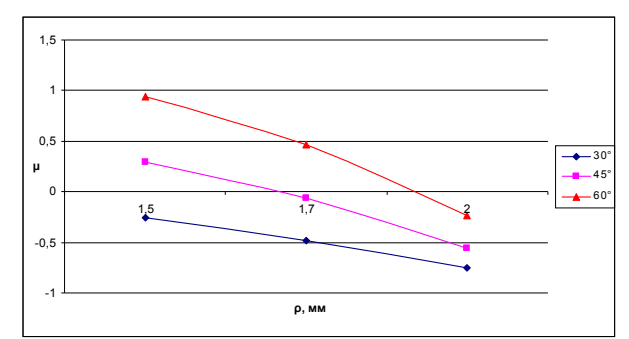
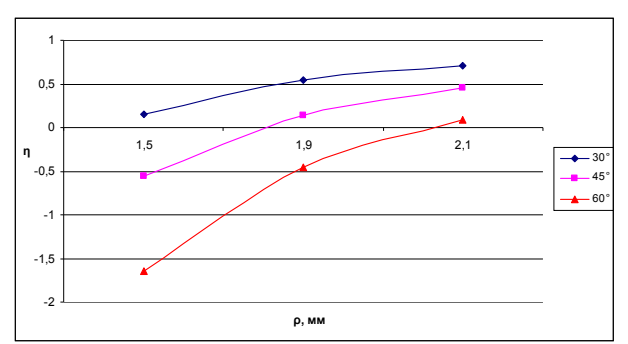


Рис. 4. Распределение параметра Надаи-Лоде  $\mu_{\sigma}$  в очаге деформации в зависимости от радиуса  $\rho$  и угла  $\alpha$  при толщине заготовки  $\delta$ =0,8 мм

Результаты расчета для ролика с радиусом рабочей поверхности  $R_{pon}$ =1,5 мм и различных Наукові праці ВНТУ, 2014, № 4

толщин листовой заготовки приведены на (рис. 3-8). Из анализа полученных результатов следует, что закономерности распределения показателей  $\eta$  и  $\mu_{\sigma}$  по объему очага деформации не зависят от материала листовой заготовки. Как видно из приведенных на рис. 3 – 8 зависимостей, показатель напряженного состояния  $\eta$  возрастает с увеличением радиуса  $\rho$  и уменьшается при увеличении угла  $\alpha$ . Параметр Надаи-Лоде  $\mu_{\sigma}$  уменьшается с ростом радиуса  $\rho$  и возрастает при увеличении угла  $\alpha$ . Например, при  $\delta$ =0,8 мм  $R_{pon}$ =1,5 мм при изменении  $\rho$ от  $\rho = 1.5$  мм до  $\rho = 2.0$  мм показатель  $\eta$  возрастает от  $\eta = -1.152$  до  $\eta = 0.283$  при  $\alpha = 60^{\circ}$  и от  $\eta = 0.258$  до  $\eta = 0.755$  при  $\alpha = 30^{\circ}$  (рис. 3). Параметр Надаи-Лоде  $\mu_{\sigma}$  уменьшается при тех же условиях от  $\mu_{\sigma}$ =0,939 до  $\mu_{\sigma}$ =-0,239 при  $\alpha$ =60° и от  $\mu_{\sigma}$ =-0,253 до  $\mu_{\sigma}$ =-0,755 при  $\alpha$ =30° (рис. 4). При фиксированном значении радиуса  $\rho$ , например, при  $\rho = 1.5$  мм показатель  $\eta$  уменьшается от  $\eta = 0.258$  до  $\eta = -1.152$  при возрастании  $\alpha$  от  $\alpha = 30^{\circ}$  до  $\alpha = 60^{\circ}$  (рис. 3), а параметр Надаи-Лоде  $\mu_{\sigma}$  при тех же условиях возрастает от  $\mu_{\sigma}$ =-0,253 до  $\mu_{\sigma}$ =0,939 (рис. 4). С ростом толщины листовой заготовки значение показателя  $\eta$  уменьшается, а параметр Надаи-Лоде  $\mu_{\sigma}$ возрастает (рис. 3 - 8), то есть чем больше толщина заготовки, тем мягче схема напряженного состояния в очаге деформации и тем меньше интенсивность накопления повреждений и, соответственно, меньше величина использованного ресурса пластичности. Такой результат является важным, так как полученную коническую заготовку планируют использовать в дальнейшем для изготовления детали более сложной формы путем последующей пластической деформации.



1 0.5 1.9 2.1 45° 45° -0.6 0° -0.5 -1 ... 60°

Рис. 5. Распределение показателя напряженного состояния  $\eta$  в очаге деформации в зависимости от радиуса  $\rho$  и угла  $\alpha$  при толщине заготовки  $\delta$ =1,0 мм

Рис. 6. Распределение параметра Надаи-Лоде  $\mu_{\sigma}$  в очаге деформации в зависимости от радиуса  $\rho$  и угла  $\alpha$  при толщине заготовки  $\delta = 1,0$  мм

При использовании для ротационной вытяжки ролика с радиусом рабочей поверхности  $R_{\rho\sigma\pi}=4,0\,$  мм характер зависимостей показателя напряженного состояния  $\eta$  и параметра Надаи-Лоде  $\mu_{\sigma}$  от радиуса  $\rho$  и угла  $\alpha$  аналогичные приведенным на рис. 3-8. Однако численные значения показателя  $\eta$  в среднем на (75-80)% больше, а численные значения параметра Надаи-Лоде  $\mu_{\sigma}$  на (60-80)% меньше численных значений этих величин, приведенных на рис. 3-8.

Анализ результатов расчета напряженного состояния показывает, что нагрузка в очаге деформации близка к простой, поэтому величину использованного ресурса пластичности  $\psi$  можно определить по критерию  $\Gamma$ . А. Смирнова-Аляева [8]:

$$\psi = \frac{e_u}{e_p(\eta, \mu_\sigma)},\tag{9}$$

где  $e_u$  — степень деформации,  $e_p$  — предельная деформация для данной схемы напряженного состояния.

Способность материала заготовки к пластической деформации без разрушения при ротационной вытяжке принято характеризовать величиной утончения, которая для деформируемого металла при данной схеме напряженного состояния не должна превышать предельной деформации  $e_p$ . В общем случае величину утончения определяют зависимостью Наукові праці ВНТУ, 2014, № 4

[9]:

$$e_u = \ln \frac{h_0}{h} \,, \tag{10}$$

где  $h_0$  — начальная толщина листовой заготовки, h — толщина стенки детали после ротационной вытяжки.

Зависимость пластичности от схемы напряженного состояния описывали поверхностями предельных деформаций, которые для исследуемых материалов аппроксимировали зависимостями [10]:

для стали 10

$$e_p(\eta, \mu_\sigma) = 0.78 \exp(0.59 \cdot \mu_\sigma - 0.71 \cdot \eta),$$
 (11)

для сплава алюминия АД1

$$e_{p}(\eta, \mu_{\sigma}) = 1.2 \exp(0.42 \cdot \mu_{\sigma} - 0.5 \cdot \eta).$$
 (12)

Расчет граничных деформаций  $e_p$  по критерию (9) показал, что максимально допустимая величина утончения, при которой материал не будет разрушатся, для листовых заготовок из стали 10 при заданных условиях формоизменения не превышает  $e_p \leq 0.35$  при радиусе рабочей поверхности ролика  $R_{pon}=1.5$  мм и  $e_p \leq 0.26$  при  $R_{pon}=4$  мм. Для заготовок из сплава алюминия АД1 максимально допустимая величина утончения не превышает  $e_p \leq 0.60$  при  $R_{pon}=1.5$  мм и  $e_p \leq 0.50$  при  $R_{pon}=4$  мм.

Для исследованных толщин листовых заготовок  $\delta = 0.8$  мм,  $\delta = 1.0$  мм,  $\delta = 1.2$  мм максимально допустимая величина утончения практически не зависит от толщины заготовки.

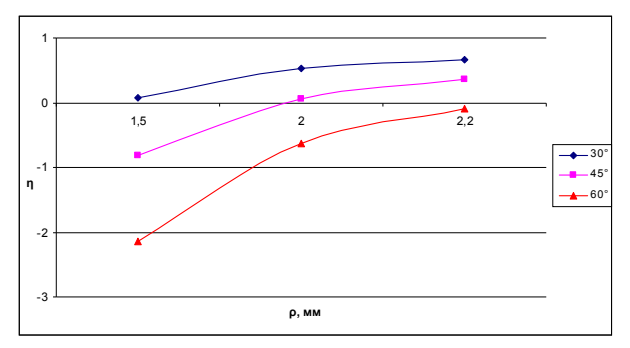


Рис. 7. Распределение показателя напряженного состояния  $\eta$  в очаге деформации в зависимости от радиуса  $\rho$  и угла  $\alpha$  при толщине заготовки  $\delta$ =1,2 мм

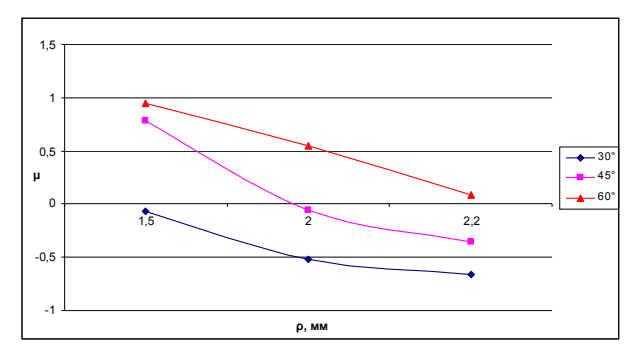


Рис. 8. Распределение параметра Надаи-Лоде  $\mu_{\sigma}$  в очаге деформации в зависимости от радиуса  $\rho$  и угла  $\alpha$  при толщине заготовки  $\delta$ =1,2 мм

## Выводы

Установлено, что при ротационной вытяжке листовых заготовок с ростом толщины заготовки показатель  $\eta$  уменьшается, а параметр Надаи-Лоде  $\mu_{\sigma}$  растет. При увеличении радиуса рабочей поверхности ролика показатель  $\eta$  в очаге деформации также растет, а параметр Надаи-Лоде  $\mu_{\sigma}$  уменьшается независимо от толщины. Необходимо отметить, что материал заготовки не влияет на характер распределения показателей  $\eta$  и  $\mu_{\sigma}$  в очаге деформации. Величина использованного ресурса пластичности  $\psi$  в очаге деформации возрастает с увеличением радиуса рабочей поверхности ролика  $R_{pon}$  и мало зависит от толщины заготовки при прочих равных условиях.

## СПИСОК ЛИТЕРАТУРЫ

1. Маленичев А. С. Взаимосвязь конструктивных характеристик оборудования и технологической оснастки Наукові праці ВНТУ, 2014, № 4

для ротационной вытяжки с параметрами качества получаемых изделий / А. С. Маленичев // Механика деформируемого твердого тела и обработка металлов давленим. – 2000. – С. 215 – 221.

- 2. Могильный Н. И. Ротационная вытяжка оболочковых деталей на станках / Могильный Н. И. М. : Машиностроение, 1983. 190 с.
- 3. Трегубов В. И. Силовые режыми ротационной вытяжки цилиндрических деталей на специализированном оборудовании / В. И. Трегубов, С. П. Яковлев, С. С. Яковлев // Кузнечно-штамповочное производство. Обработка материалов давлением. -2005. -№ 1. -C. 17-23.
- 4. Дудка Д. В. Ротационное формоизменение конических деталей из анизотропных материалов / Д. В. Дудка, С. С. Яковлев // Известия ТулГУ. Технические науки. 2010. Вып. 3. С. 3 11.
- 5. Драбик А. Н. Ротационная вытяжка конических деталей из анизотропных заготовок : дис. ... канд. техн. наук : 05.03.05 / Драбик Андрей Николаевич. Тула, 2010. 207 с.
- 6. Огородников В. А. Деформируемость и разрушение металлов при пластическом формоизменении / Огородников В. А. К. : УМК ВО, 1989. 152 с.
- 7. Богатов А. А. Ресурс пластичности металлов при обработке давлением / А. А. Богатов, О. И. Мижирицкий, С. В. Смирнов. М. : Металлургия, 1984. 144 с.
- 8. Смиронов-Аляев  $\Gamma$ . А. Механические основы пластической обработки металлов / Смирнов-Аляев  $\Gamma$ . А. Л. : Машиностроение, 1968. 272 с.
- 9. Капорович В. Г. Производство деталей из труб обкаткой / В. Г. Капорович. М. : Машиностроение, 1978. 166 с.
- 10. Сивак И. О. Пластичность металлов при объемном напряжённом состоянии / И. О. Сивак, Е. И. Коцюбивская // Удосконалення процесів і обладнання обробки тиском в металургії і машинобудуванні: Тематич. 36. наук. пр. 2007. С. 73 76.

*Сивак Иван Онуфриевич* – д. т. н., профессор, заведующий кафедрой технологии и автоматизации машиностроения, sivak\_i\_o@mail.ru.

*Сухоруков Сергей Иванович* – к. т. н., доцент кафедры технологии и автоматизации машиностроения, ssergeii@ukr.net.

**Шевчук Евгений Игоревич** – аспирант кафедры технологии и автоматизации машиностроения, Shevae 111@mail.ru.

Винницкий национальный технический университет.